

# 二次Li/LiNi<sub>0.3</sub>Co<sub>0.7</sub>O<sub>2</sub>电池反应研究<sup>①</sup>

章 福 平

(浙江丝绸工学院纤维分院,杭州 310033)

**摘要** 利用循环伏安,库仑滴定,X射线衍射,恒电流阶跃等方法研究了Li/LiNi<sub>0.3</sub>Co<sub>0.7</sub>O<sub>2</sub>电池反应。结果表明该电池在4.30~3.00 V间放电容量可达120~140 mA·h·g<sup>-1</sup>,充、放电机理为Li<sup>+</sup>在LiNi<sub>0.3</sub>Co<sub>0.7</sub>O<sub>2</sub>中进行两步脱嵌与嵌入反应。并计算了8℃和40℃时两步脱嵌反应的焓和熵及自由能变化。同时,讨论了Li<sup>+</sup>在LiNi<sub>0.3</sub>Co<sub>0.7</sub>O<sub>2</sub>中的化学扩散系数和电导随其含量变化的规律。

**关键词** 锂电池,锂镍钴氧化物,嵌入反应

4 V 二次锂离子电池是当今国际上解决安全使用锂电池的最新发展方向。已有的研究<sup>[1,2]</sup> 表明选用LiNi<sub>1-y</sub>Co<sub>y</sub>O<sub>2</sub>作正极的电池,其性能较之以LiCoO<sub>2</sub>或LiNiO<sub>2</sub>作正极的电池好。但目前有关此方面的研究甚少,且未能达到全面、深入,如LiNi<sub>1-y</sub>Co<sub>y</sub>O<sub>2</sub>中最佳的y值至今未见报道。为此,合成了LiNi<sub>0.3</sub>Co<sub>0.7</sub>O<sub>2</sub>,并研究其在锂电池中的反应。

## 1 实验部分

### 1.1 LiNi<sub>0.3</sub>Co<sub>0.7</sub>O<sub>2</sub>的合成

按计量将分析纯的LiNO<sub>3</sub>、Co(NO<sub>3</sub>)<sub>2</sub>·6H<sub>2</sub>O、Ni(CH<sub>3</sub>COO)<sub>2</sub>·4H<sub>2</sub>O混匀,于850℃加热23 h,得黑色坚硬固体。根据ICP法测定的Li、Ni、Co含量,计算相应的组成为Li<sub>1.009</sub>Ni<sub>0.305</sub>Co<sub>0.721</sub>O<sub>2</sub>(以下简称LiNi<sub>0.3</sub>Co<sub>0.7</sub>O<sub>2</sub>表示)。

### 1.2 电池装备及仪器和测试

电池的装备及所用仪器和测试方法(包括恒电流充放电,循环伏安,库仑滴定,X射线衍射等)参见文献<sup>[3]</sup>。恒电流阶跃是在阶跃一定时间后,于电池开路( $i=0$ )时测电池电压衰减曲线,IR降,电解液浓差极化,负极极化均消除。锂为参比电极。

## 2 结果与讨论

### 2.1 恒电流充、放电

图1示出 $i=0.5$  mA/cm<sup>2</sup>时Li/LiNi<sub>0.3</sub>Co<sub>0.7</sub>O<sub>2</sub>电池充、放电曲线。结果表明在 $i=0.5$  mA/cm<sup>2</sup>

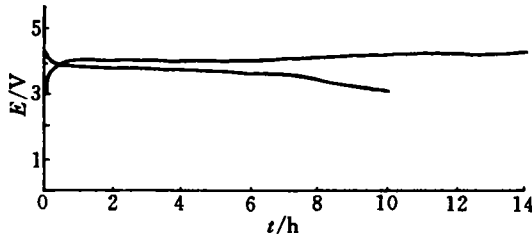


图1 室温,  $i=0.5$  mA/cm<sup>2</sup>, Li/LiNi<sub>0.3</sub>Co<sub>0.7</sub>O<sub>2</sub>电池充、放电曲线

Fig. 1 Ambient temperature, charge and discharge curve of Li/LiNi<sub>0.3</sub>Co<sub>0.7</sub>O<sub>2</sub> cell

① 本文1995-11-24收到,1996-05-16收到修改稿

$\text{cm}^2$  下和  $4.30 \sim 3.00 \text{ V}$  范围内, 电池的放电容量为  $120.8 \text{ mA} \cdot \text{h} \cdot \text{g}^{-1}$ , 半容量工作电压为  $3.6 \text{ V}$ . 电流密度减小, 工作电压和放电容量相应增大. 如同在  $4.30 \sim 3.00 \text{ V}$  之间, 当  $i = 0.25 \text{ mA}/\text{cm}^2$  和  $0.1 \text{ mA}/\text{cm}^2$  时, 放电容量分别为  $136.0 \text{ mA} \cdot \text{h} \cdot \text{g}^{-1}$  和  $141.3 \text{ mA} \cdot \text{h} \cdot \text{g}^{-1}$ , 半容量工作电压分别为  $3.7 \text{ V}$  和  $3.9 \text{ V}$ . 与  $\text{LiCoO}_2$  锂电池<sup>[3]</sup> 在相同的电流密度下放电的工作电压一致, 但电容量提高近  $10\% \sim 20\%$ . 说明  $\text{LiNi}_{0.3}\text{Co}_{0.7}\text{O}_2$  具有很好的应用前景.

## 2.2 循环伏安

图2示出  $\text{Li}/\text{LiNi}_{0.3}\text{Co}_{0.7}\text{O}_2$  电池的循环伏安曲线. 阴极扫描在  $3.7 \text{ V}$  和  $3.4 \text{ V}$  处各有一电流峰, 分别对应着  $\text{Li}^+$  在  $\text{LiNi}_{0.3}\text{Co}_{0.7}\text{O}_2$  层间四面体和八面体位置上的嵌入. 与  $\text{Li}^+$  在  $\text{LiCoO}_2$ <sup>[3,4]</sup> 中的嵌入过程相似.

## 2.3 库仑滴定

图3示出  $8 \text{ }^\circ\text{C}$  和  $40 \text{ }^\circ\text{C}$  时  $\text{Li}/\text{LiNi}_{0.3}\text{Co}_{0.7}\text{O}_2$  电池的库仑滴定曲线, 在两不同温度下,  $E-X$  曲线(图3(a))均表现出两电位区特征. 与循环伏安结果相符. 如图, 低电位区( $0.78 < x \leq 1$ )和高电位区分别对应着  $\text{Li}^+$  在八面体和四面体位置上的脱嵌与嵌入反应. 据式<sup>(5)</sup>:

$$\Delta G = -F \int_0^1 E(x) dx \quad (1)$$

对图3(a)中  $8 \text{ }^\circ\text{C}$  和  $40 \text{ }^\circ\text{C}$  的实验点逐点数值积分即可分别求得两步  $\text{Li}^+$  脱嵌(或嵌入)反应的 Gibbs 自由能变化, 进而求得相应的  $\Delta S, \Delta H$ . 同时, 对高电位区  $E-X$  曲线进行拟合(图3b, 3c),  $E$  与  $X^{2/3}$  呈线性关系:

$$8 \text{ }^\circ\text{C} \text{ 时, } 0.265 \leq x \leq 0.781, E = 4.827 - 1.229x^{2/3} \quad (2)$$

$$40 \text{ }^\circ\text{C} \text{ 时, } 0.504 \leq x \leq 0.769, E = 4.611 - 1.017x^{2/3} \quad (3)$$

此与  $\text{LiCoO}_2$  锂电池相似<sup>[3]</sup>, 且其相关系数均为 0.999. 表2列出由逐点数值积分计算的以及将式(2), 式(3)代入式(1)求得的各热力学参数值. 二者之间相当吻合, 进一步表明拟合结果的合理性.

表1  $\text{Li}/\text{LiNi}_{0.3}\text{Co}_{0.7}\text{O}_2$  电池脱嵌(充电)反应的热力学函数

Tab. 1 Thermodynamic data of the charge reaction of  $\text{Li}/\text{LiNi}_{0.3}\text{Co}_{0.7}\text{O}_2$  cell

t/ $^\circ\text{C}$	x	$\Delta G/\text{KJ} \cdot \text{mol}^{-1}$	$\Delta S/\text{KJ} \cdot \text{K}^{-1} \cdot \text{mol}^{-1}$	$\Delta H/\text{KJ} \cdot \text{mol}^{-1}$
8	1→0.781	76.28	-0.02758	84.03
	0.781→0.265	200.97	-0.09161	226.71
		200.97*	-0.09161	226.71*
40	1→0.781	73.28	-0.02758	83.83
	0.781→0.459	120.30	-0.05717	142.20
		120.34*	-0.05717	142.24*

\* (2), (3)代入(1)得

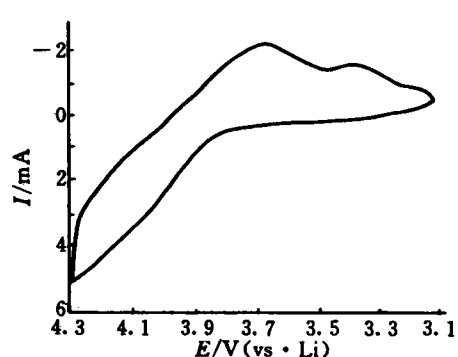


图2 Li/LiNi<sub>0.3</sub>Co<sub>0.7</sub>O<sub>2</sub>电池的循环伏安曲线, 扫速 = 0.63 mV/s.

Fig. 2 Cyclic voltammogram of Li/LiNi<sub>0.3</sub>Co<sub>0.7</sub>O<sub>2</sub> cell

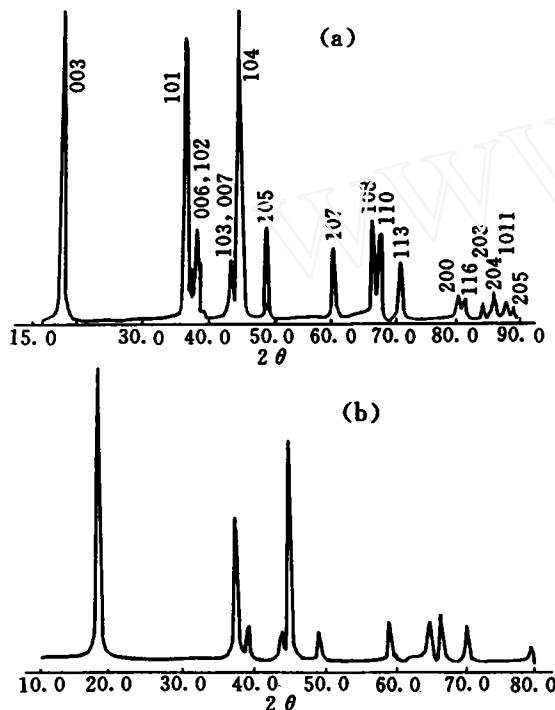


图4 Li<sub>1-x</sub>Ni<sub>0.3</sub>Co<sub>0.7</sub>O<sub>2</sub>样品XRD图  
(a)  $x=1$  (充电前样品); (b)  $x=0.315$  (以0.5 mA/cm<sup>2</sup>充电15 h至4.30 V)

Fig. 4 X-ray diffraction patterns of Li<sub>1-x</sub>Ni<sub>0.3</sub>Co<sub>0.7</sub>O<sub>2</sub>

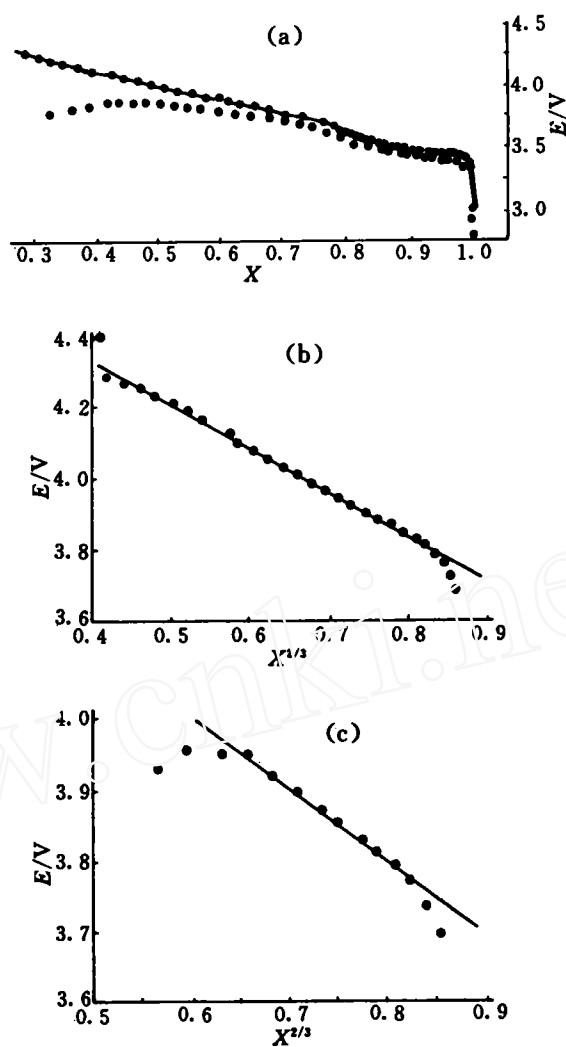


图3 Li/LiNi<sub>0.3</sub>Co<sub>0.7</sub>O<sub>2</sub>电池不同温度的库仑滴定曲线,  $i=10 \mu\text{A}/\text{cm}^2$   
(a) ——, 8 °C, ..... , 40 °C; (b) 8 °C,  $x=0.802 \rightarrow 0.265$ ; ..... , 实验点, ——, 拟合线; (c) 40 °C,  $x=0.791 \rightarrow 0.426$

Fig. 3 Coulometric titration curves of Li/LiNi<sub>0.3</sub>Co<sub>0.7</sub>O<sub>2</sub> cells

## 2.4 X 射线衍射

图 4 示出  $\text{LiNi}_{0.3}\text{Co}_{0.7}\text{O}_2$  充电前、后的 X 射线衍射图。由于  $\text{LiNi}_{1-x}\text{Co}_x\text{O}_2$  属三方晶系  $R\bar{3}m$  空间群层状结构<sup>[1,2]</sup>, 含有六次对称轴。其菱面体晶胞可看作是一个复杂的六方晶胞。据此, 将两样品的衍射峰按六方晶系指标化。结果表明当  $\text{Li}^+$  从  $x=1$  脱嵌至  $x=0.315$  时, 晶胞参数  $a$  从 0.2826 nm 缩小至 0.2808 nm。而晶胞参数  $c$  由 1.413 nm 增至 1.4253 nm。与  $\text{Li}_x\text{CoO}_2$ <sup>[3]</sup> 的变化规律一致; 差别仅在(101)峰和(104)峰, 两者的相对强度的变化以及(110)峰比(108)峰强。

## 2.5 $\text{LiNi}_{0.3}\text{Co}_{0.7}\text{O}_2$ 中 $\text{Li}^+$ 电导 ( $\sigma_i$ ) 和化学扩散系数 ( $\tilde{D}$ ) 的测定

图 5 示出微恒电流阶跃后, 开路状态正极电位衰减曲线。据式<sup>[6]</sup>:

$$\Delta E_{(t)} = \frac{iK_F RT}{F^2 C^+ A} [2(t/\pi \tilde{D})^{1/2} - t \cdot \delta^{-1}] \quad (4)$$

$$\tilde{D} = \sigma_i R T K_F / F^2 C^+, \quad E_0 - E_\infty = Z_0 i / 3A \quad (5)$$

图 6 示出按上式计算的  $\tilde{D}, \sigma_i$  结果。

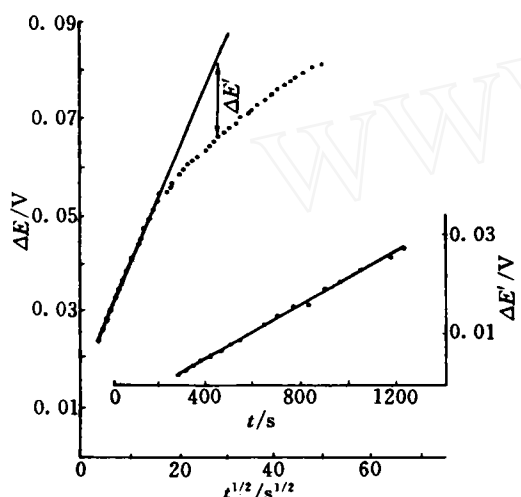


图 5  $\text{Li}/\text{LiNi}_{0.3}\text{Co}_{0.7}\text{O}_2$  电池以  $i=10 \mu\text{A}/\text{cm}^2$  充电 4 h 后,  $\Delta E$  正衰减曲线, Li 参考电极

$$x=1 \rightarrow 0.996, \quad T=281\text{K}, \quad \delta=1.73 \times 10^{-4} \text{ m}$$

$$A=1 \times 10^{-4} \text{ m}^2, \quad C_{\text{Li}}^*=2.364 \times 10^4 \text{ mol} \cdot \text{m}^{-3}$$

Fig. 5  $\Delta E$  decay response of the  $\text{Li}/\text{LiNi}_{0.3}\text{Co}_{0.7}\text{O}_2$  cell after passing through a constant current of  $10 \mu\text{A}/\text{cm}^2$  for 4 h

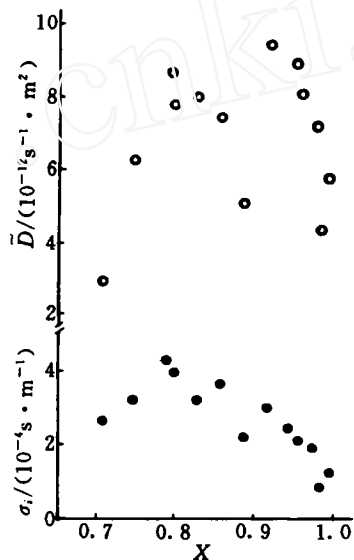


图 6 8℃,  $\text{Li}_x\text{Ni}_{0.3}\text{Co}_{0.7}\text{O}_2$  中  $D_{\text{Li}^+}$  和  $\sigma_i$  随  $x$  变化图

Fig. 6 The changes of the chemical diffusion coefficient and the ion conductivity of  $\text{Li}^+$  in  $\text{Li}_x\text{Ni}_{0.3}\text{Co}_{0.7}\text{O}_2$  with  $\text{Li}^+$  composition, at 8℃

图6中,  $\tilde{D}$  和  $\sigma_i$  于  $0.8 < x < 1$  之间随  $x$  减小而增大; 至  $x < 0.8$  后, 则随  $x$  减小而减小。 $x = 0.8$  恰与库仑滴定(图2a)中  $\text{Li}^+$  由八面体位置脱嵌向四面体位置脱嵌过渡相符。可见, 此变化规律与  $\text{Li}^+$  扩散过程中在相邻的八面体及四面体位置间的跳跃几率有关。定性地考虑, 随着  $\text{Li}^+$  的脱嵌,  $\text{Li}^+$  间的相互碰撞及其排斥作用减弱, 从而减小了其扩散阻力, 定向运动速度得以加快,  $\tilde{D}$  和  $\sigma_i$  相应增大。而当  $\text{Li}^+$  脱嵌至一定程度后,  $\text{O}_2^-$  对  $\text{Li}^+$  的吸引作用逐渐占主导地位, 致使  $\text{Li}^+$  扩散和定向运动的阻力增大,  $\tilde{D}$  和  $\sigma_i$  反随  $x$  减小而减小。此外由动态和静态数据得到的  $K_t/\tilde{D}$  值, 二者也大致吻合, 说明图6之处理结果是可靠的。由于  $\text{Li}^+$  在  $\text{LiNi}_{0.3}\text{Co}_{0.7}\text{O}_2$  中的化学扩散系数达  $10^{-8} \text{ cm}^2 \cdot \text{s}^{-1}$ , 意味着用它作为电池的正极可承受较大电流密度。

## Studies on the Charge and Discharge Reaction of Li/LiNi<sub>0.3</sub>Co<sub>0.7</sub>O<sub>2</sub> Battery

Zhang Fuping

(College of Fiber Engineering, Zhejiang Institute of  
Silk Textiles, Hongzhou 310033)

**Abstract** The charge and discharge reaction of Li/LiNi<sub>0.3</sub>Co<sub>0.7</sub>O<sub>2</sub> battery have been studied by using CV, CT, XRD and GCP. It is shown that the discharge capacity of the cell reaches 120—140 mA·h·g<sup>-1</sup> in the 4.30—3.00 V in 1 mol/L LiClO<sub>4</sub>/PC electrolyte system. The discharge mechanism involve a two-step Li<sup>+</sup> intercalation reaction. The thermodynamic data such as  $\Delta G$ ,  $\Delta S$ ,  $\Delta H$ , of the reaction are given. Furthermore, the changes of the  $\tilde{D}$  or  $\sigma_i$  of Li<sup>+</sup> with its composition have been discussed.

**Key words** Lithium Battery, Lithium Nickel Cobalt Oxide, Intercalation Reaction

## References

- 1 Delmas C S, Saadoune I, Rougier A. The cycling properties of the Li<sub>x</sub>Ni<sub>1-x</sub>Co<sub>y</sub>O<sub>2</sub> electrode. *J. Power Sources*, 1993, 43-44:595
- 2 Ohzuku T, Ueda A, Nagayama M et al. Comparative study of LiCoO<sub>2</sub>, LiNi<sub>1/2</sub>Co<sub>1/2</sub>O<sub>2</sub> and LiNiO<sub>2</sub> for 4 volt secondary lithium cells. *Electrochim. Acta*, 1993, 38(9):159
- 3 章福平. 酒石酸法合成的LiCoO<sub>2</sub>的结果及其二次锂电池行为研究. 电化学, 1995, 1(3):333
- 4 Gummow R J, Liles D C, Thackery M M. Spinal versus layered structures for lithium cobalt oxide synthesised at 400 C. *Mat. Res. Bull.*, 1993, 28:235
- 5 Tomczuk Z, Arderson K E, Vissers D R et al. Evaluation of high temperature LiAl/TiS<sub>2</sub> cell. *J. Electrochem. Soc.*, 1980, 127(9):1881
- 6 Honder A et al. (a) Several electrochemical methods for the simultaneous measurement of thermodynamic activity and effective kinetic properties of inserted ions in solid solution electrodes. *Solid State Ionics*. 1983, 9~10:375; (b) Bounded diffusion in solid solution electrode powder compacts part I. *Solid State Ionics*, 1985, 15:265